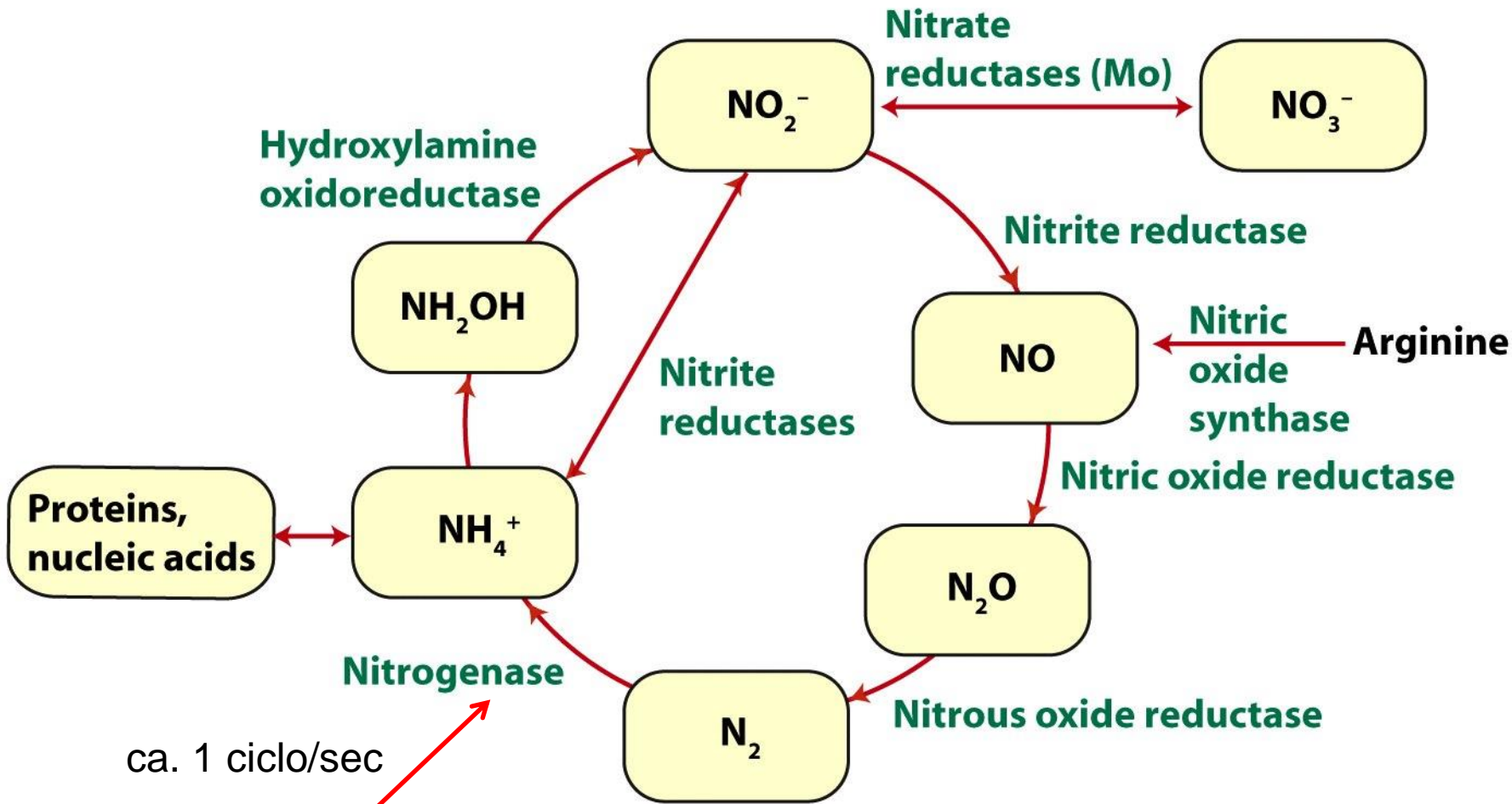
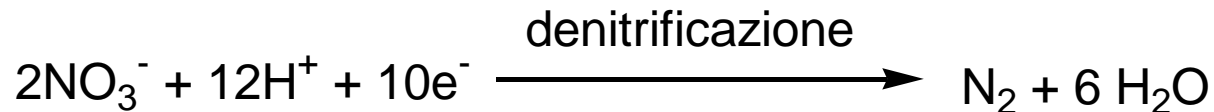
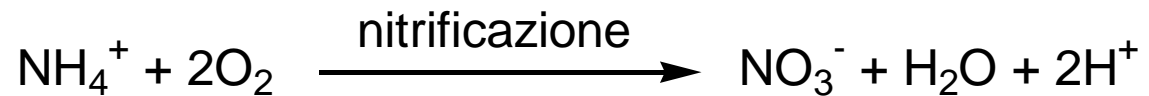
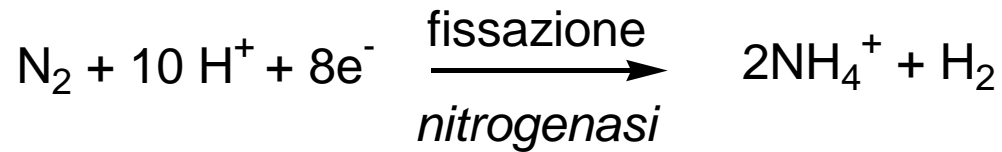
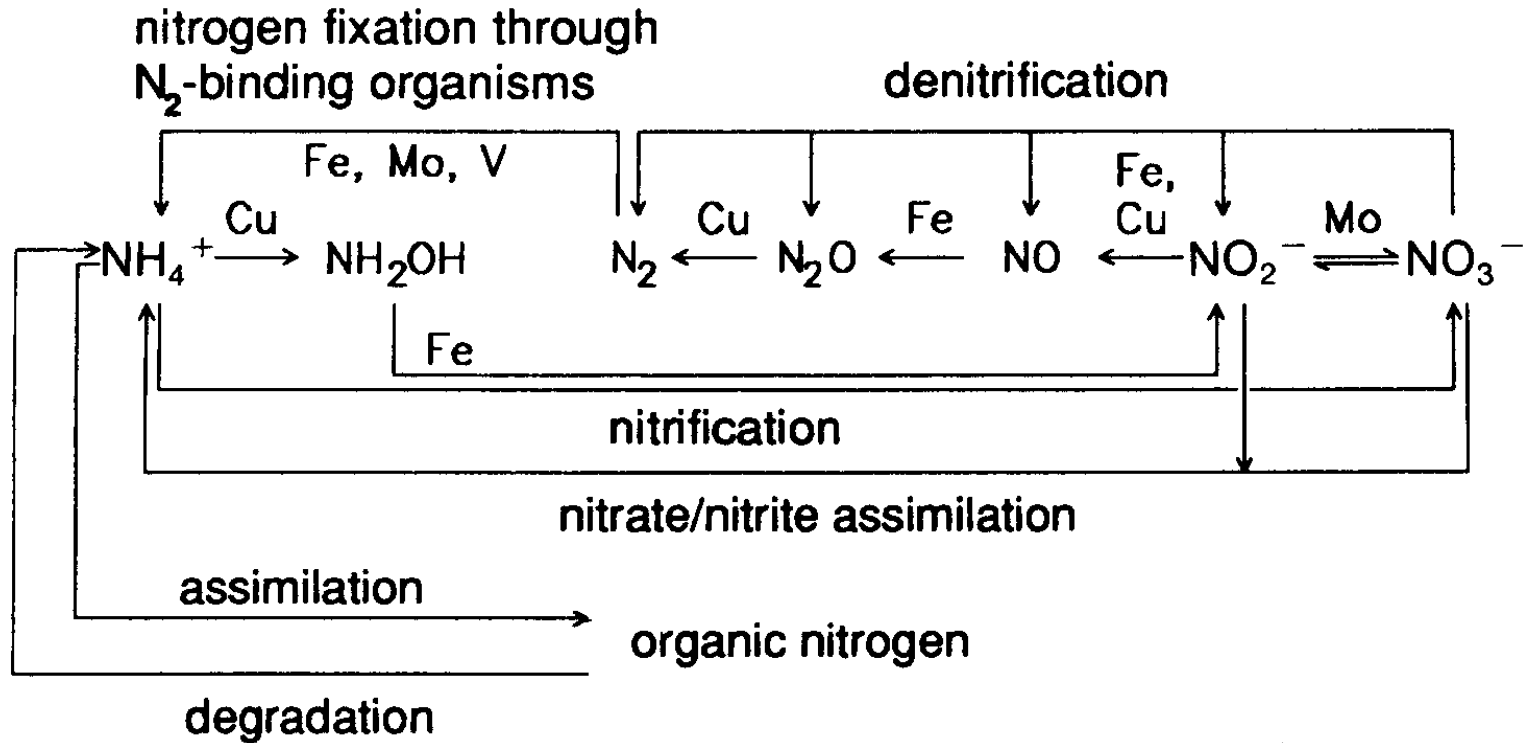


Ciclo dell'azoto



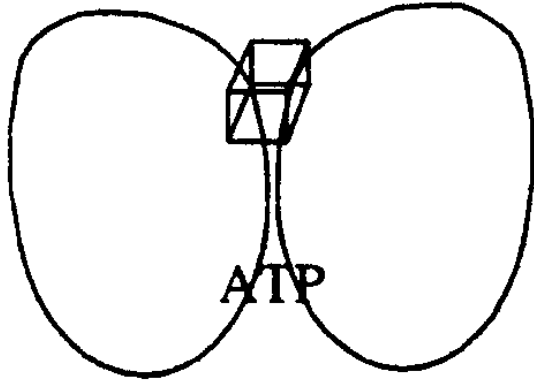
Batteri procarioti diazotropici: 10^8 ton N_2/y



Nitrogenasi



1992

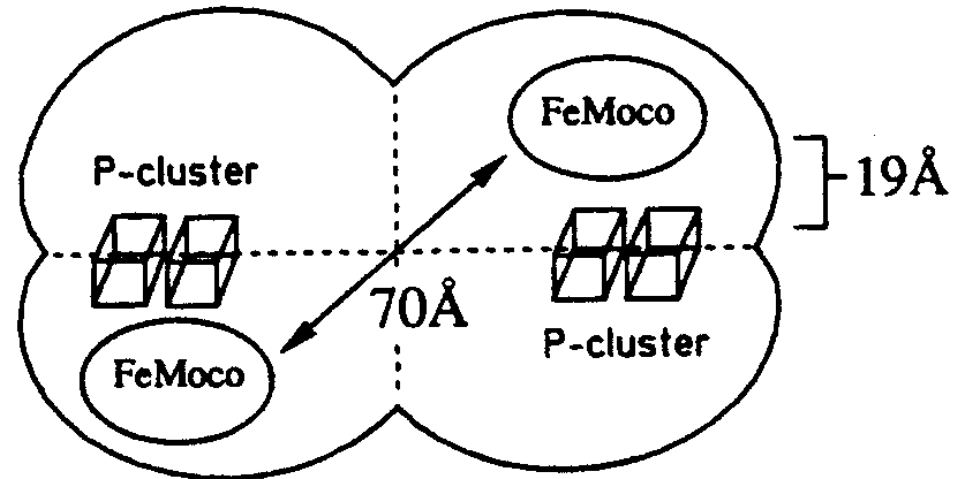


Fe protein

γ_2

60 kDa

+



FeMo protein

$\alpha_2\beta_2$

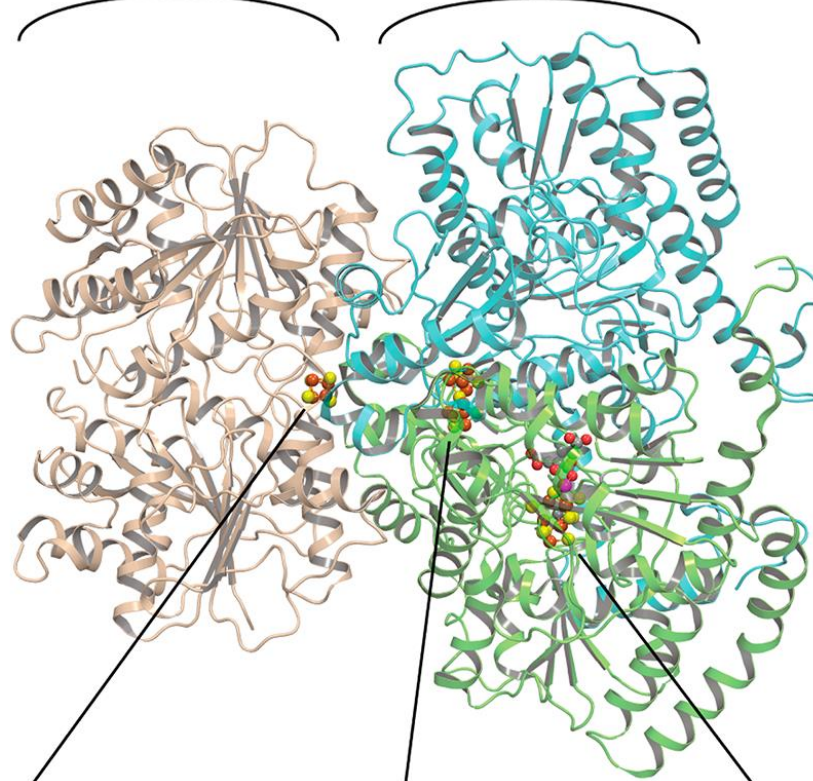
220 kDa

Nitrogenasi

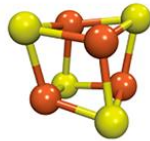
Fe protein

MoFe protein

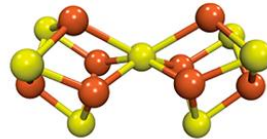
(A)



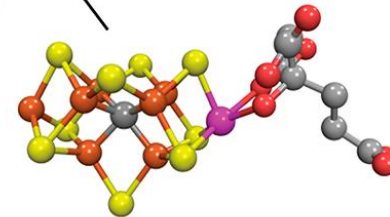
(B)



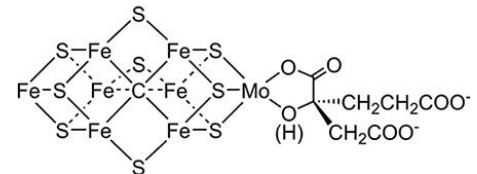
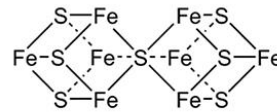
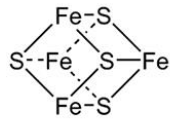
F cluster



P cluster

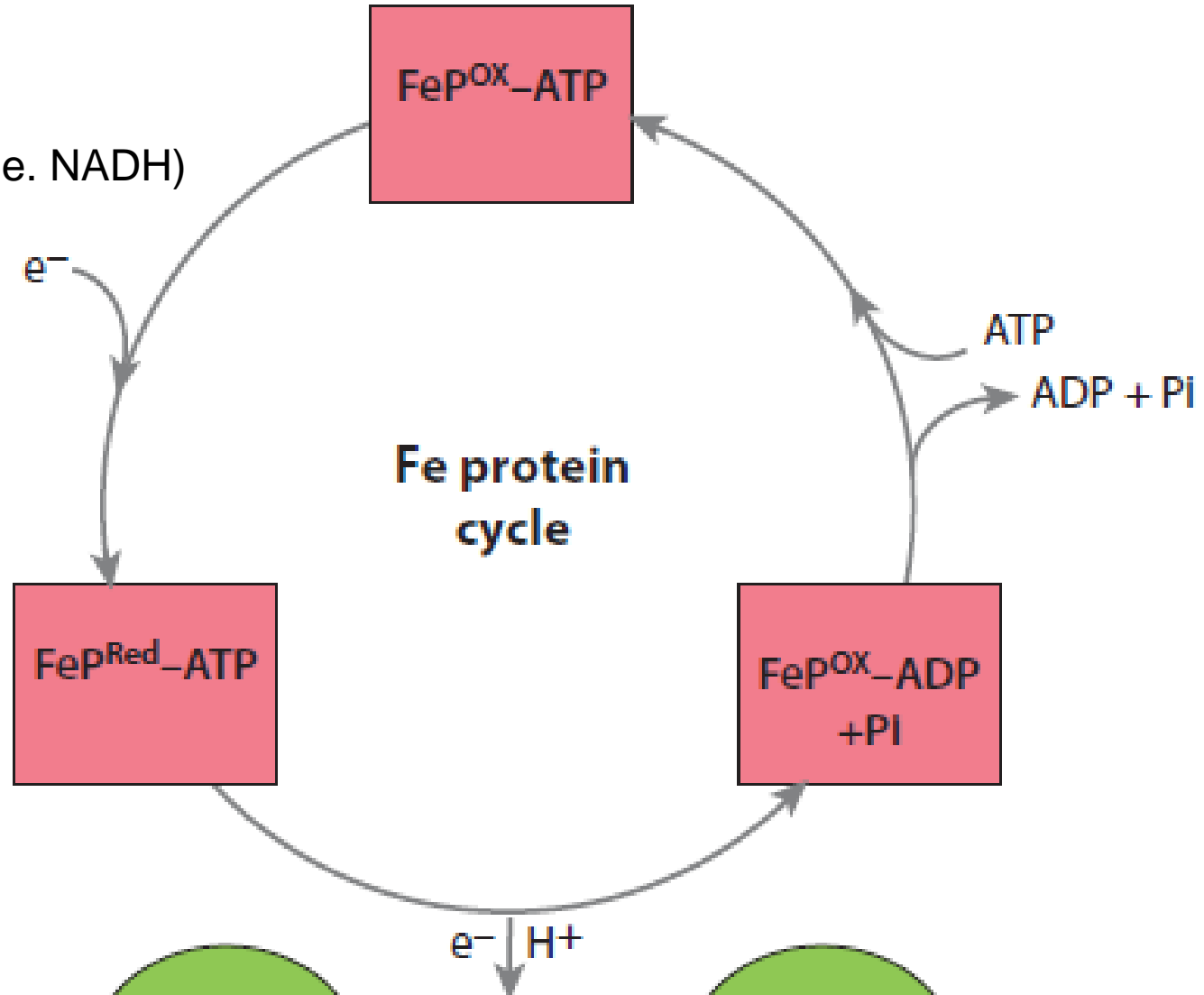


M cluster (FeMoco)

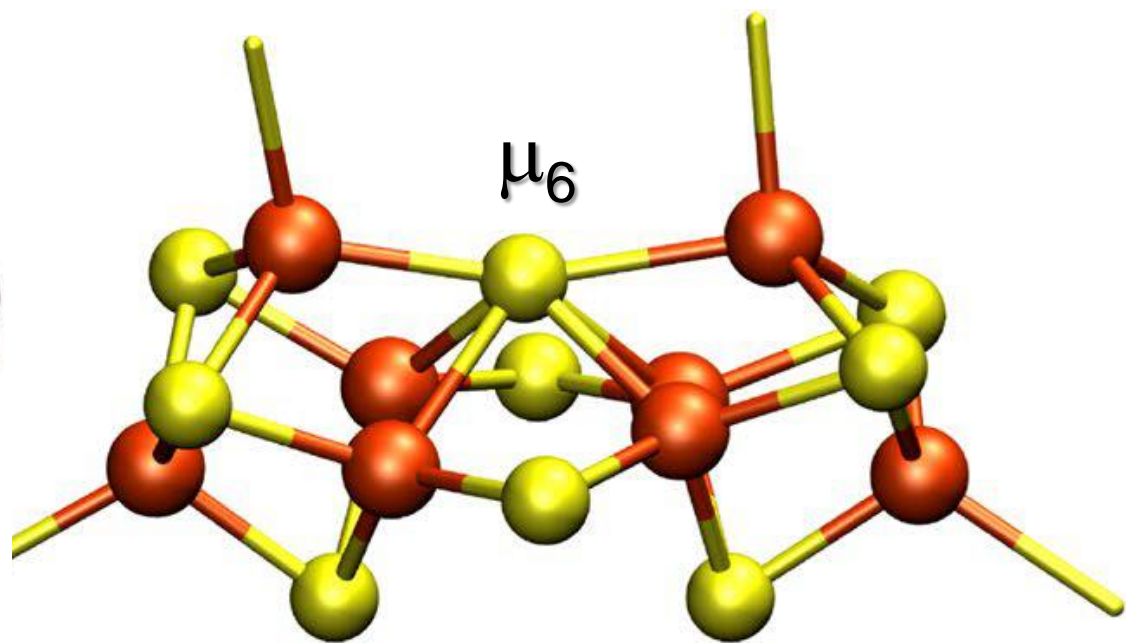
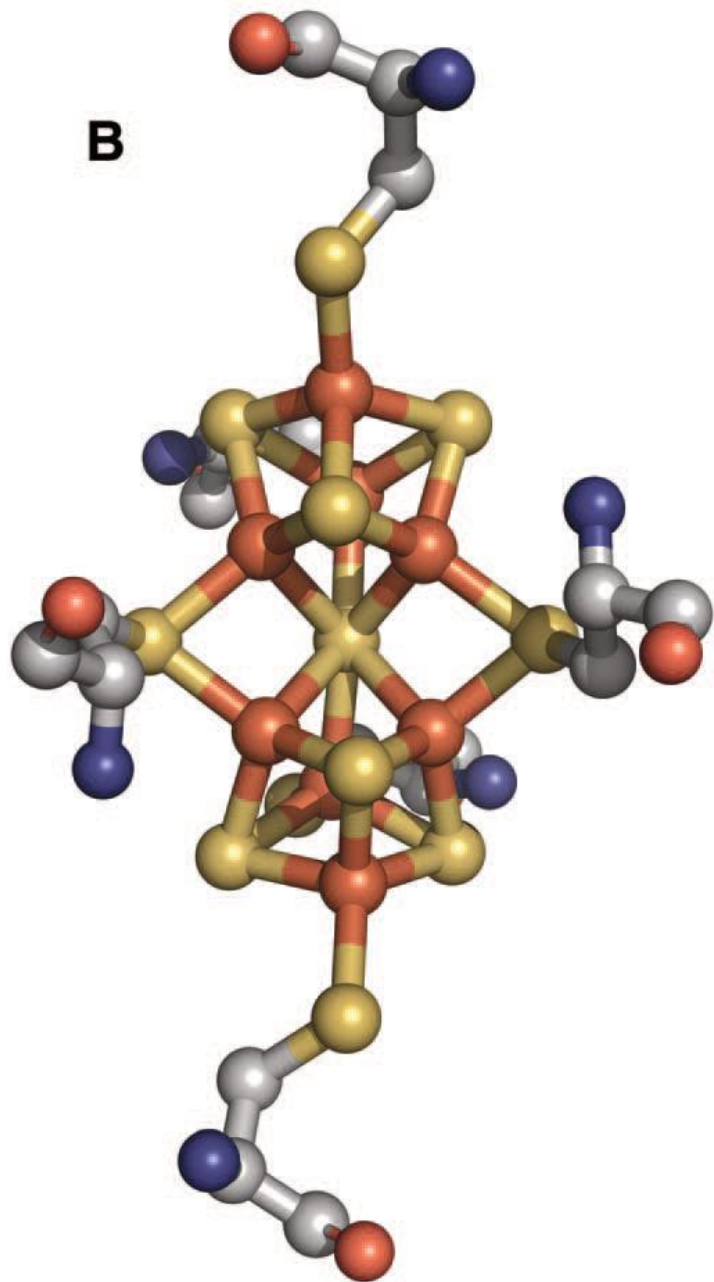


Fe-proteina

ferridossina o
flavodossina (i.e. NADH)

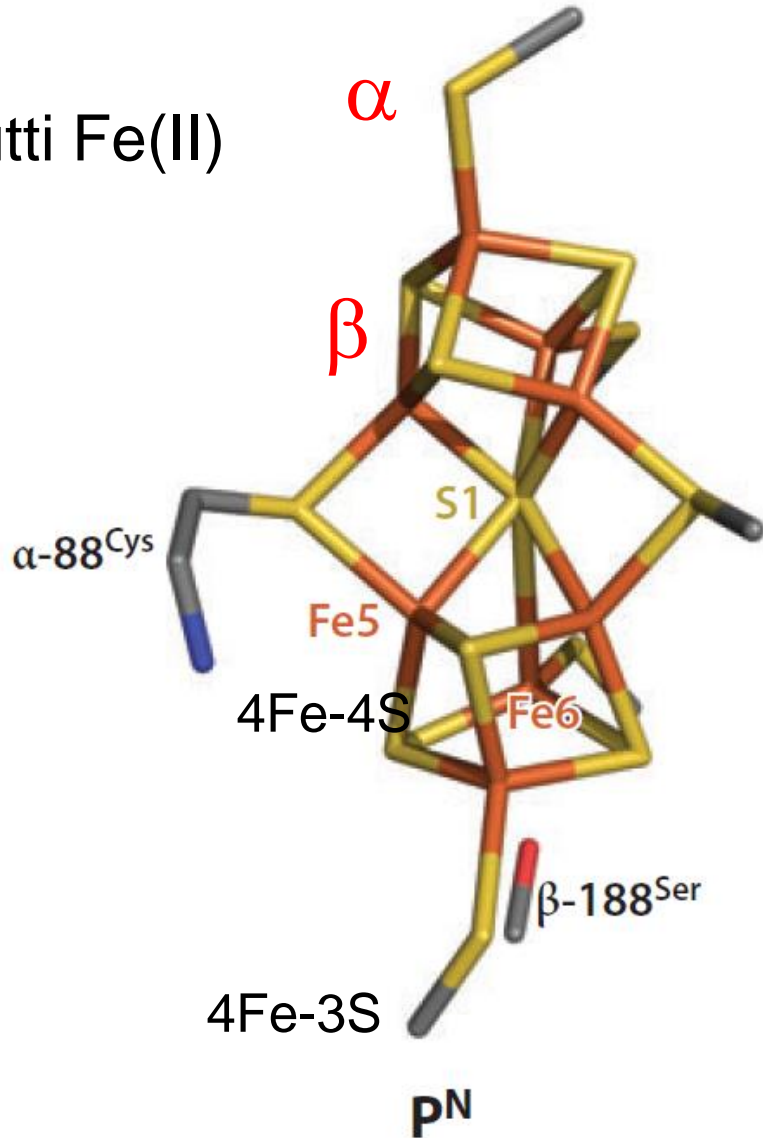


P-cluster 8Fe-7S

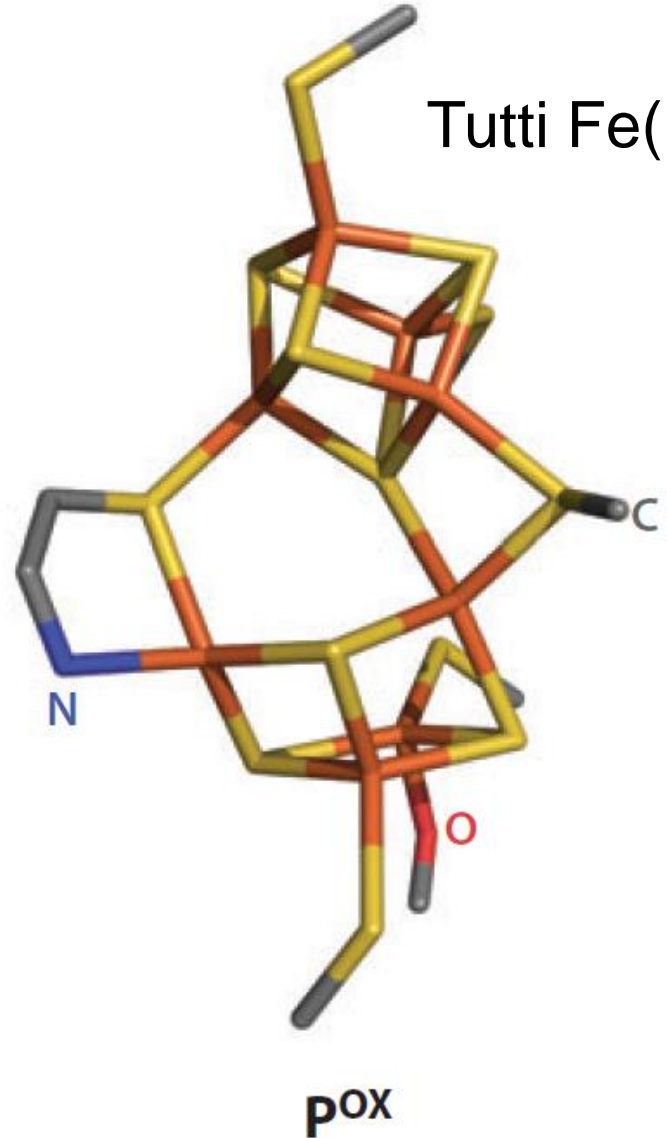


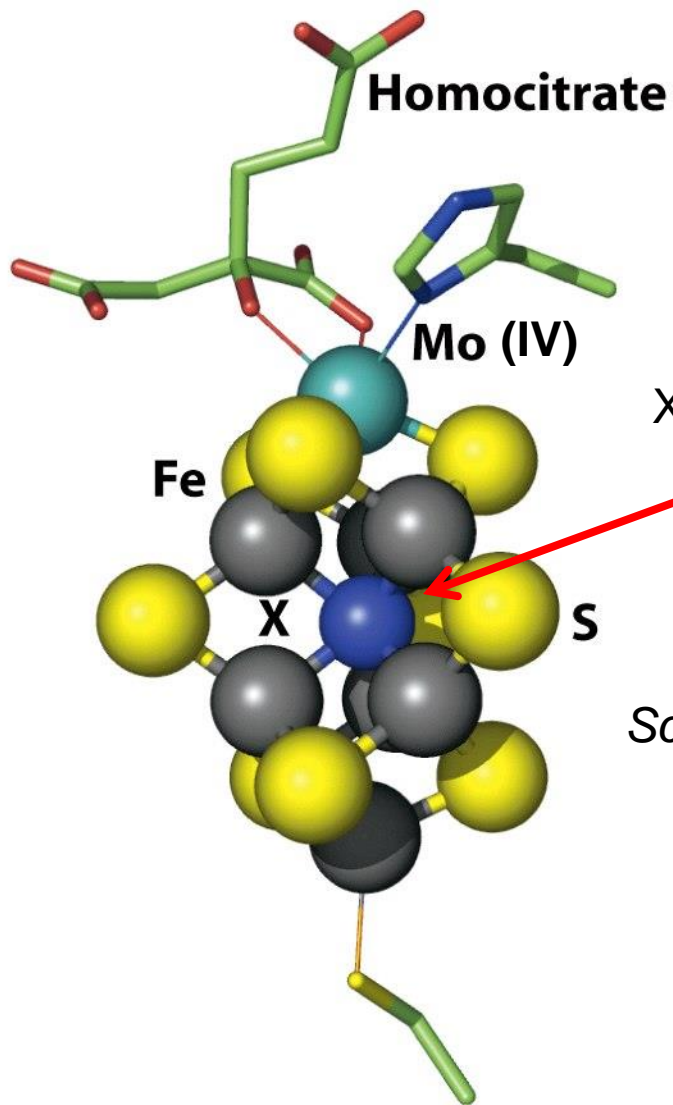
P-cluster 8Fe-7S

Tutti Fe(II)



Tutti Fe(II) – 2e⁻





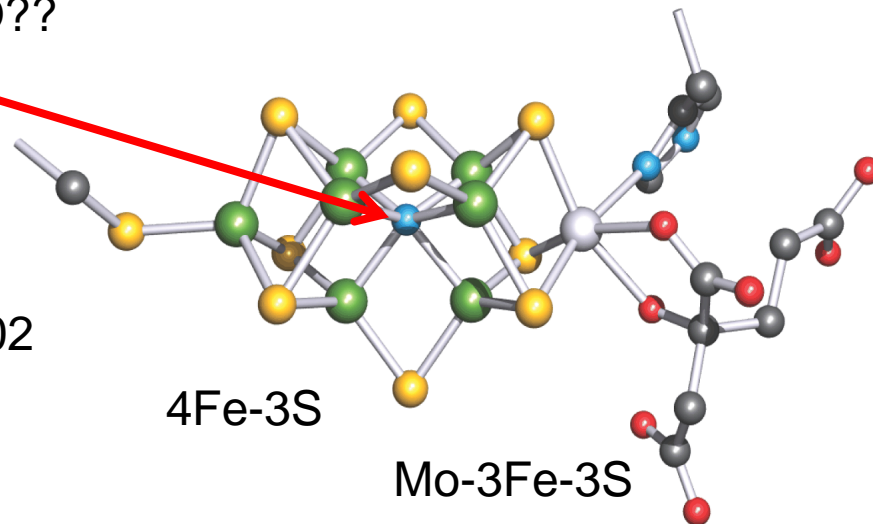
Nitrogenase FeMoCo

Cofattore FeMo

7Fe-9S-Mo-omocitrato

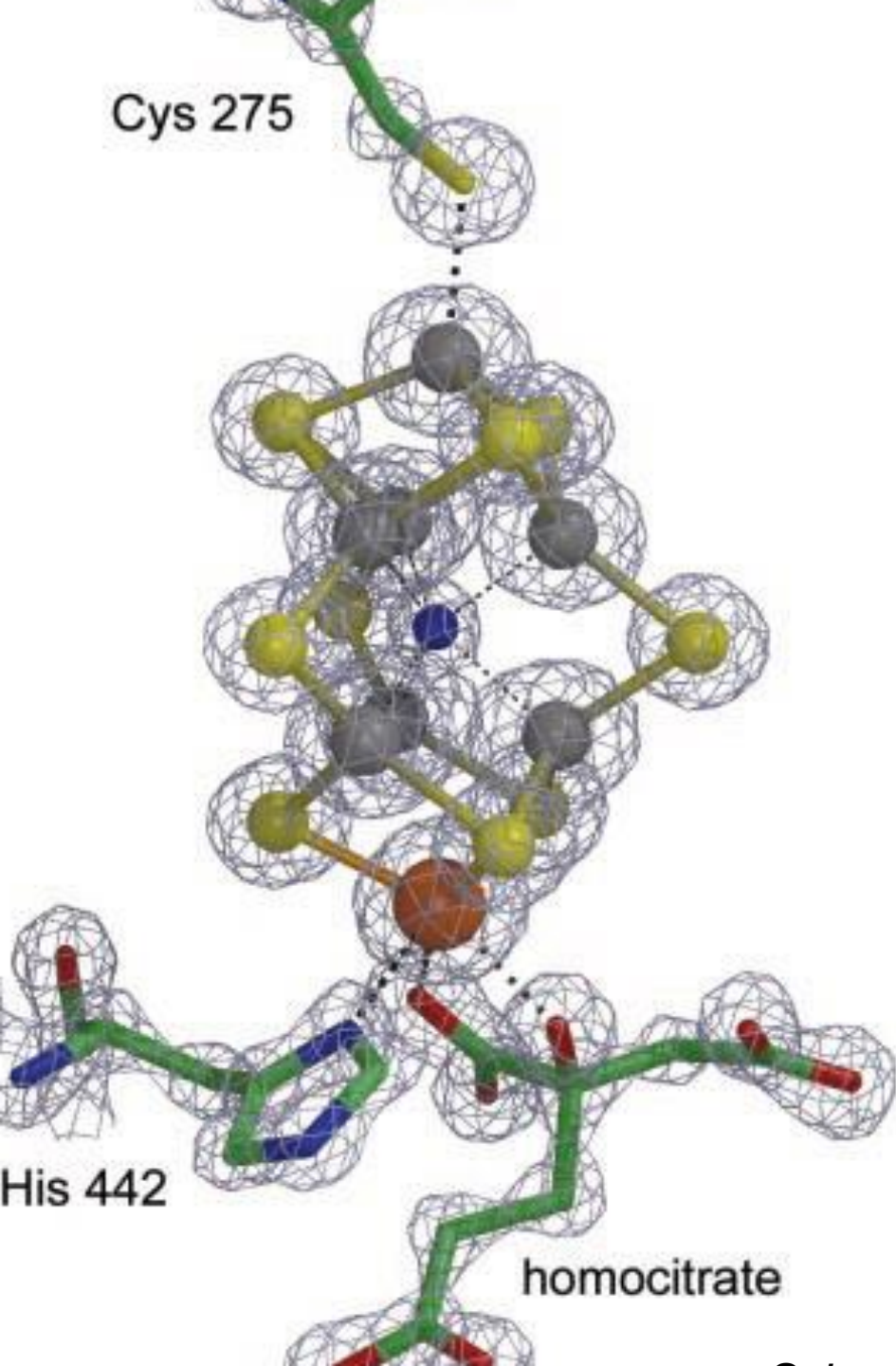
X = C, N, O??

Science, 2002

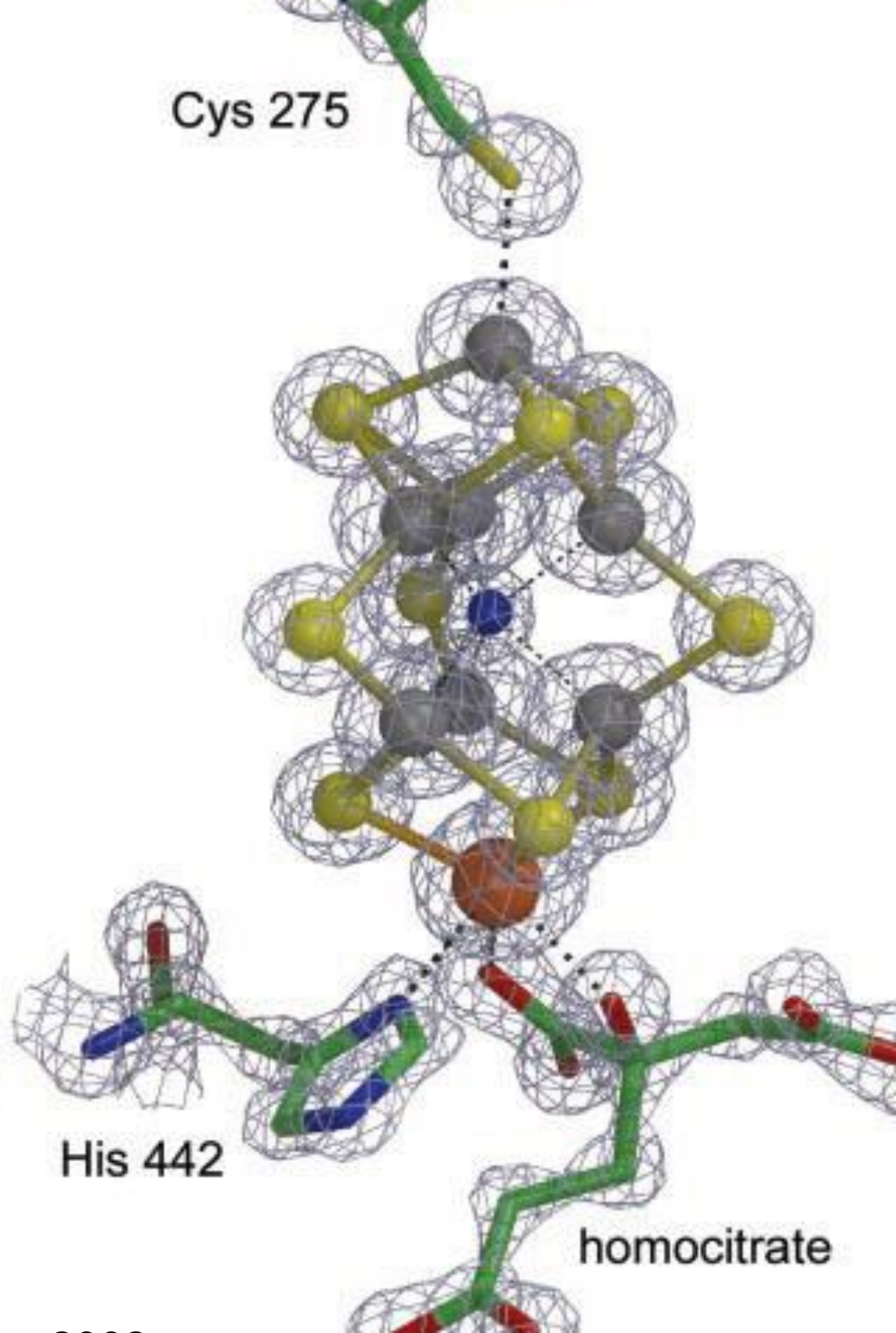


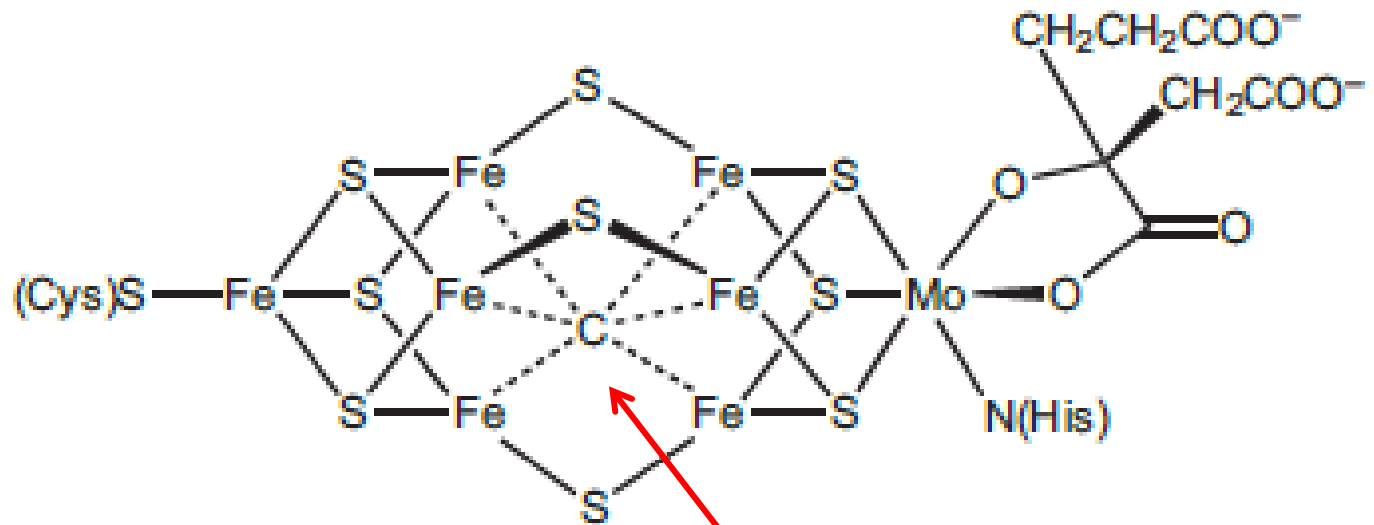
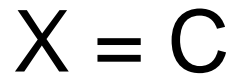
Tutto in α

Cys 275



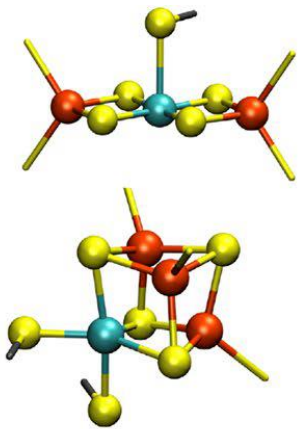
Cys 275





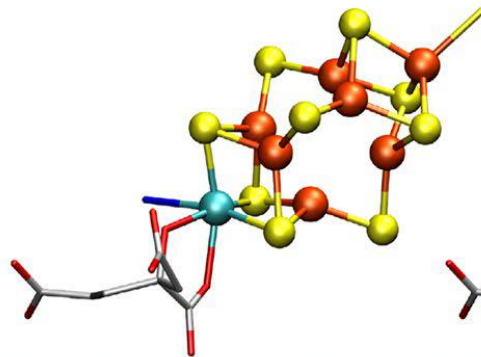
Carburo, C⁴⁻

Science, 2011



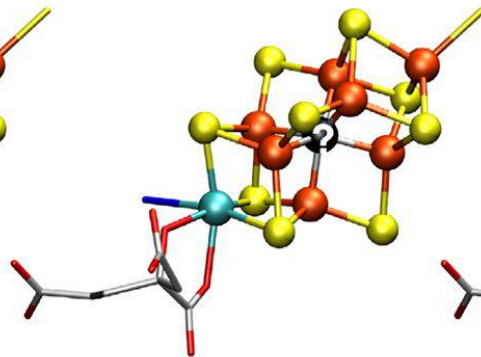
1978

First structural models from EXAFS



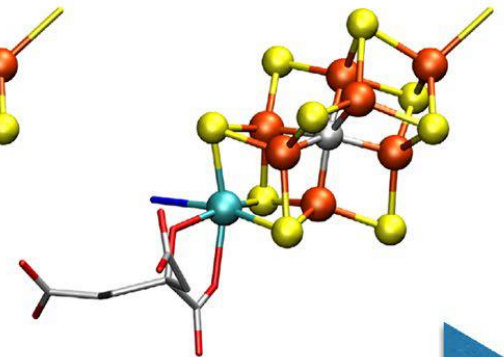
1992

First crystal structure (2.7Å)



2002

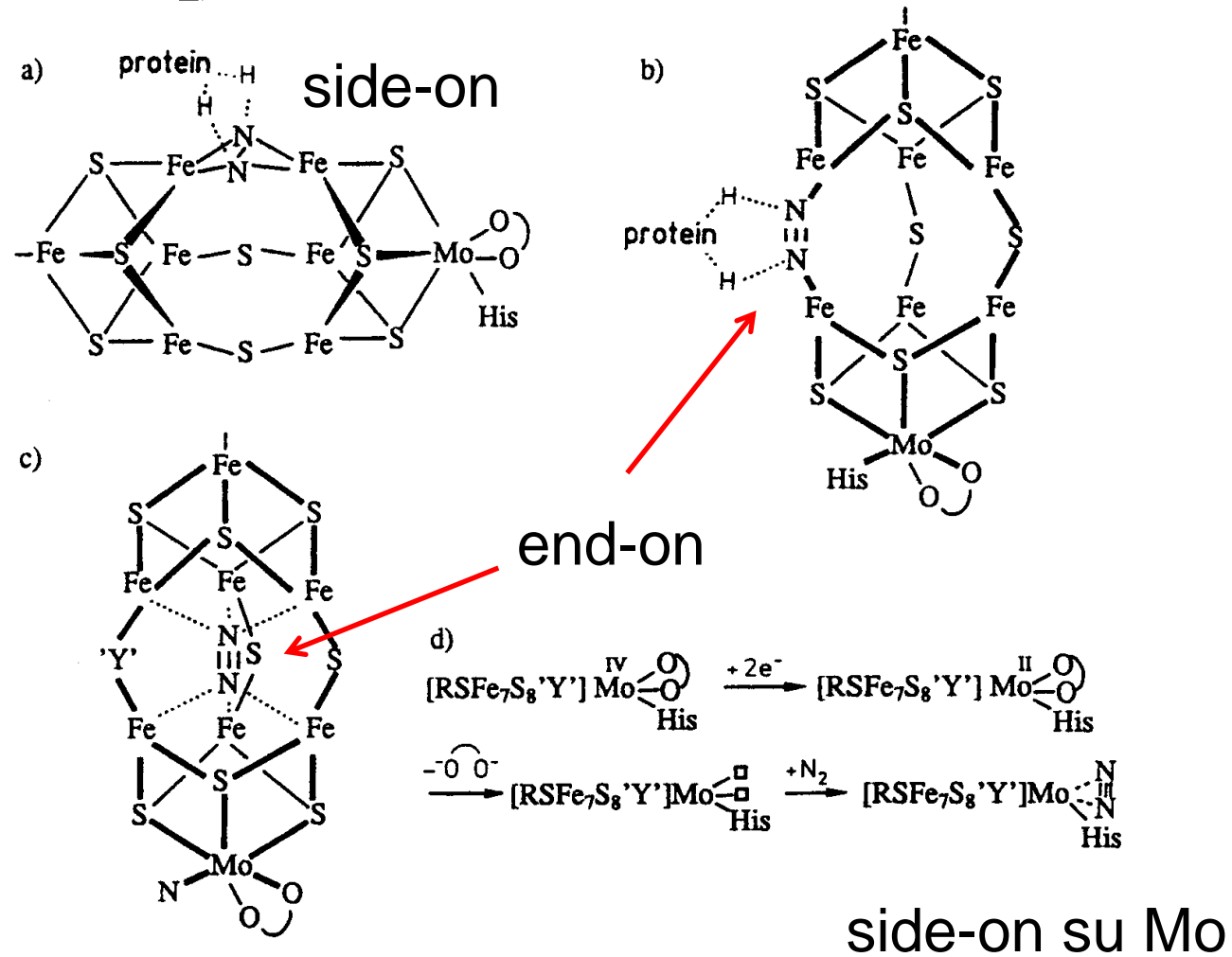
Discovery of interstitial atom

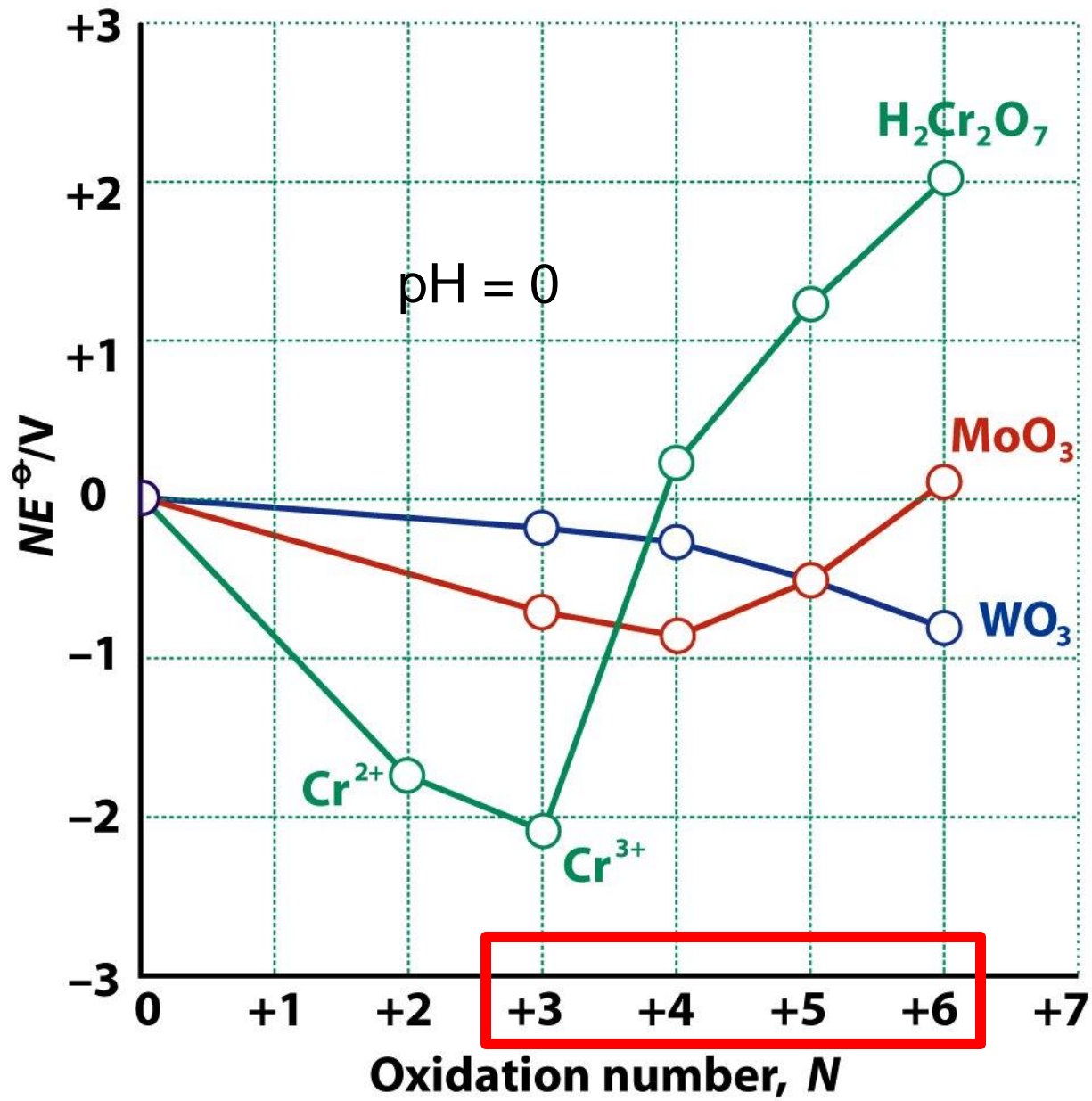


2011

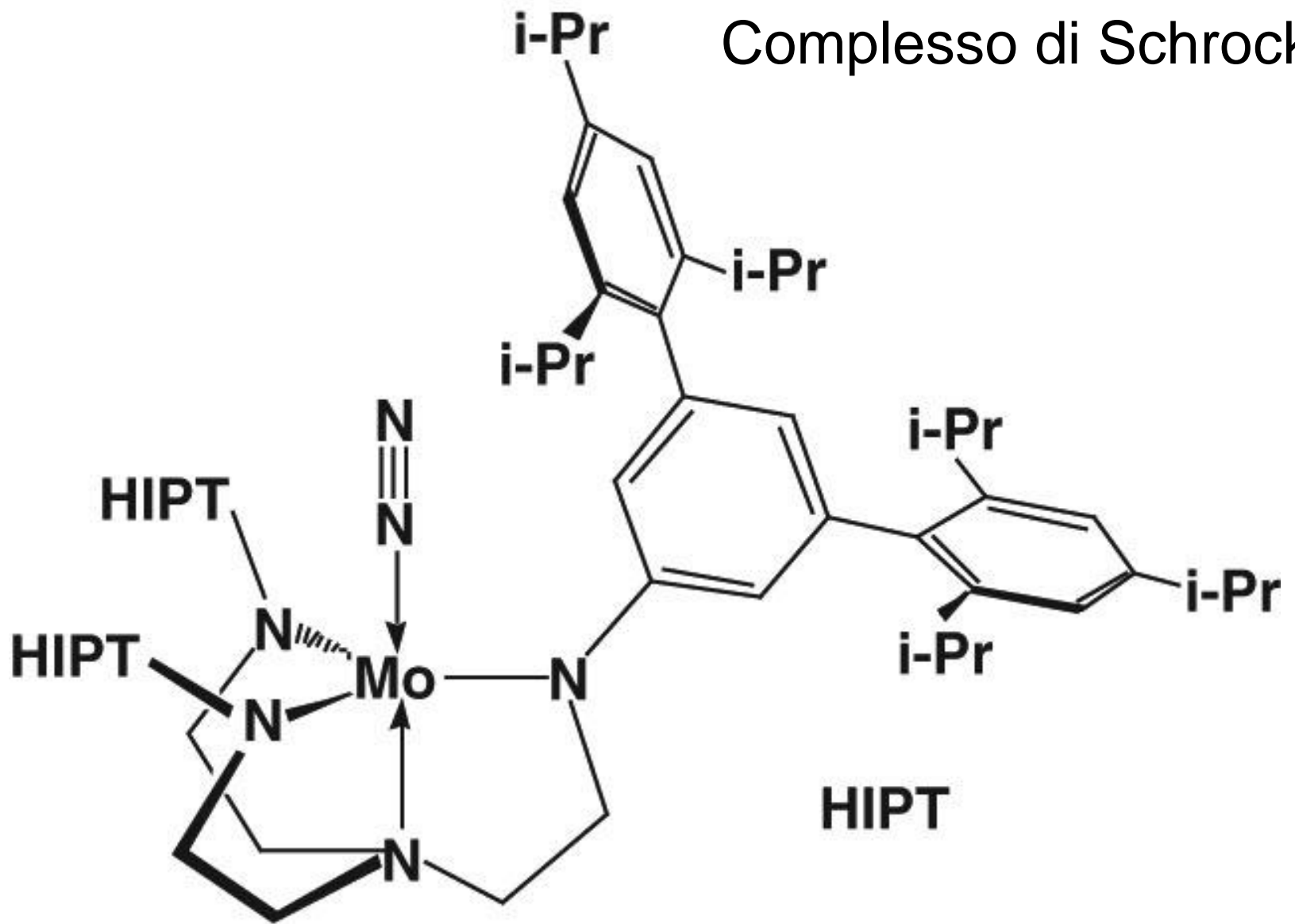
Interstitial atom identified as carbon

Ipotetici modi di coordinazione di N₂ al FeMoco

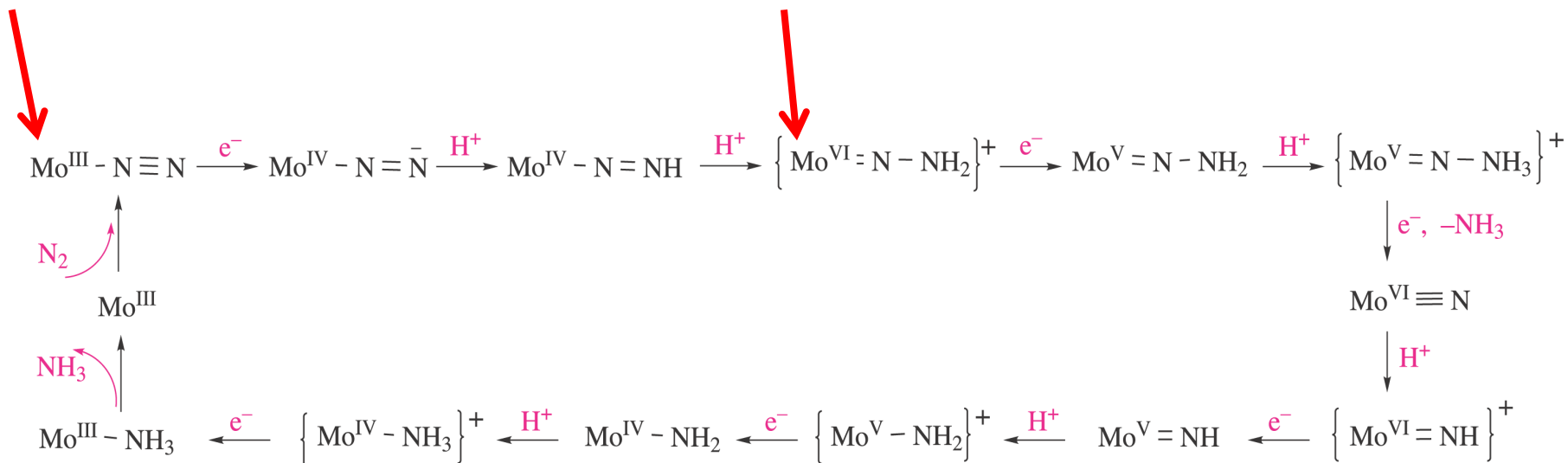
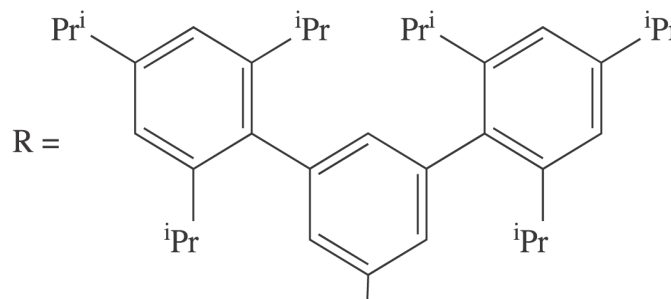
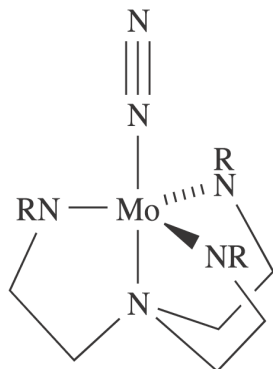




Complesso di Schrock



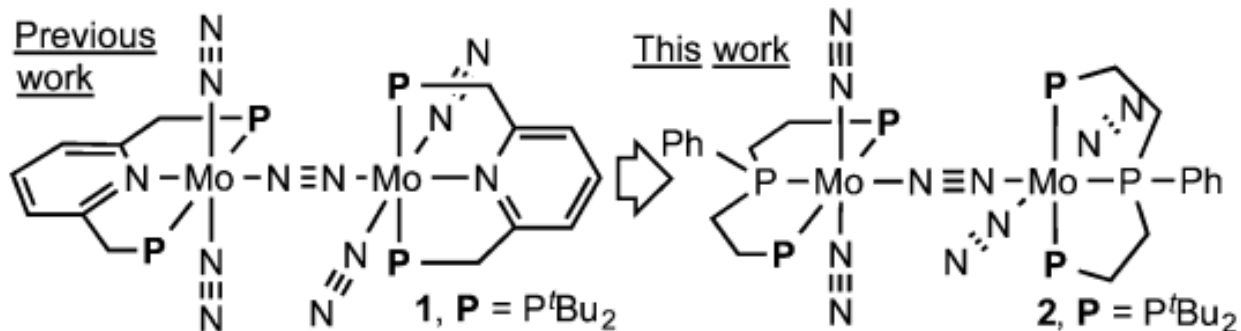
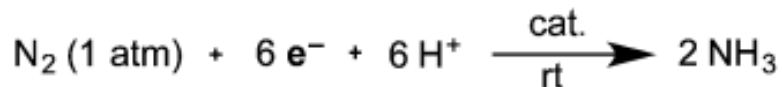
Schema della riduzione catalitica di N₂ a NH₃ su Mo



8 cicli catalitici, meccanismo *distale*

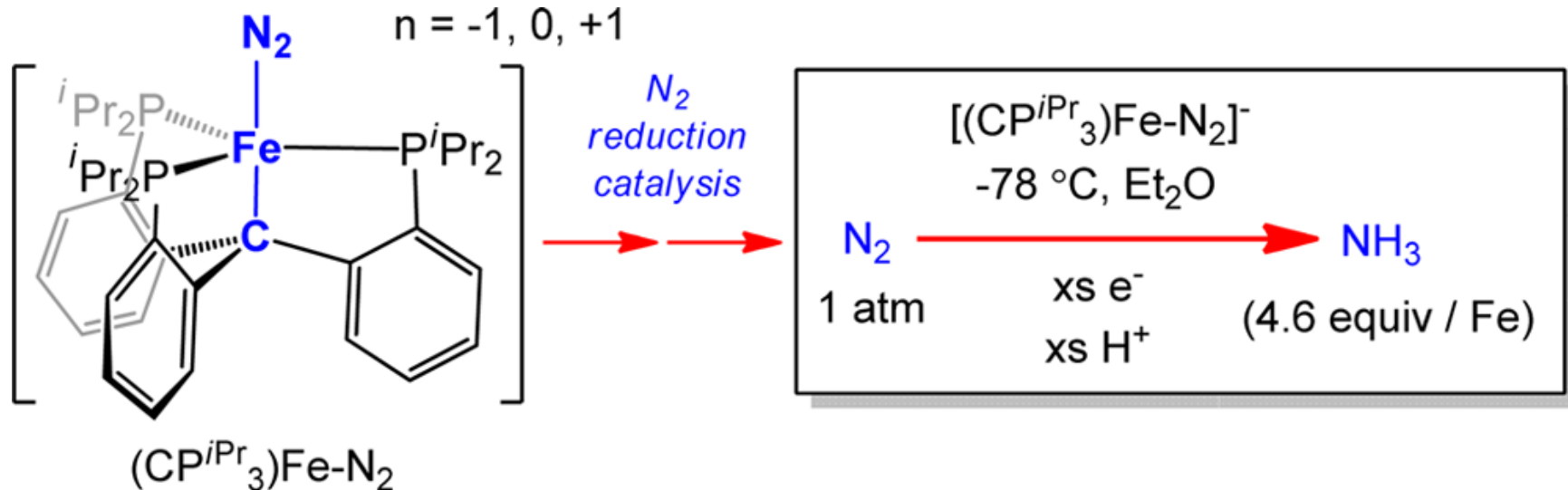
Complessi di Nishibayashi (2011 e 2015)

26 cicli catalitici, riducente CoCp^*_2



Complesso di Peters (2014)

4.6 cicli catalitici, riducente K



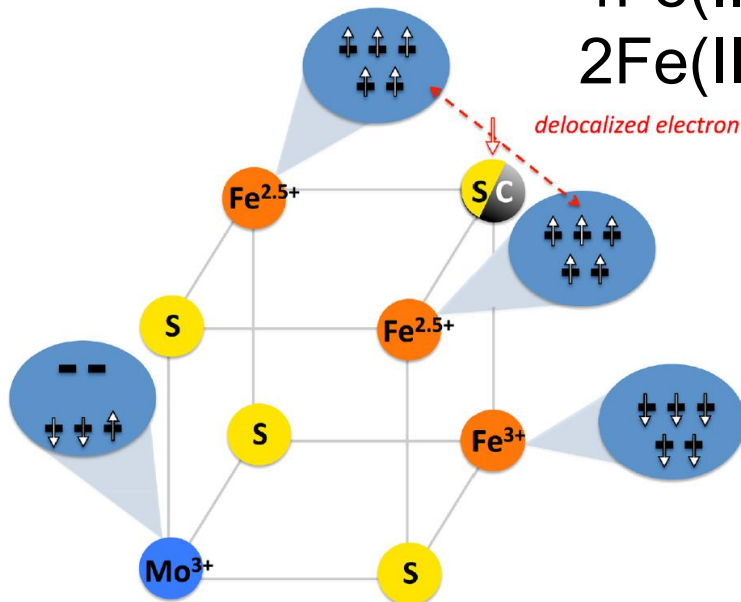
Struttura elettronica di FeMo-co

Resting state: $S = 3/2$

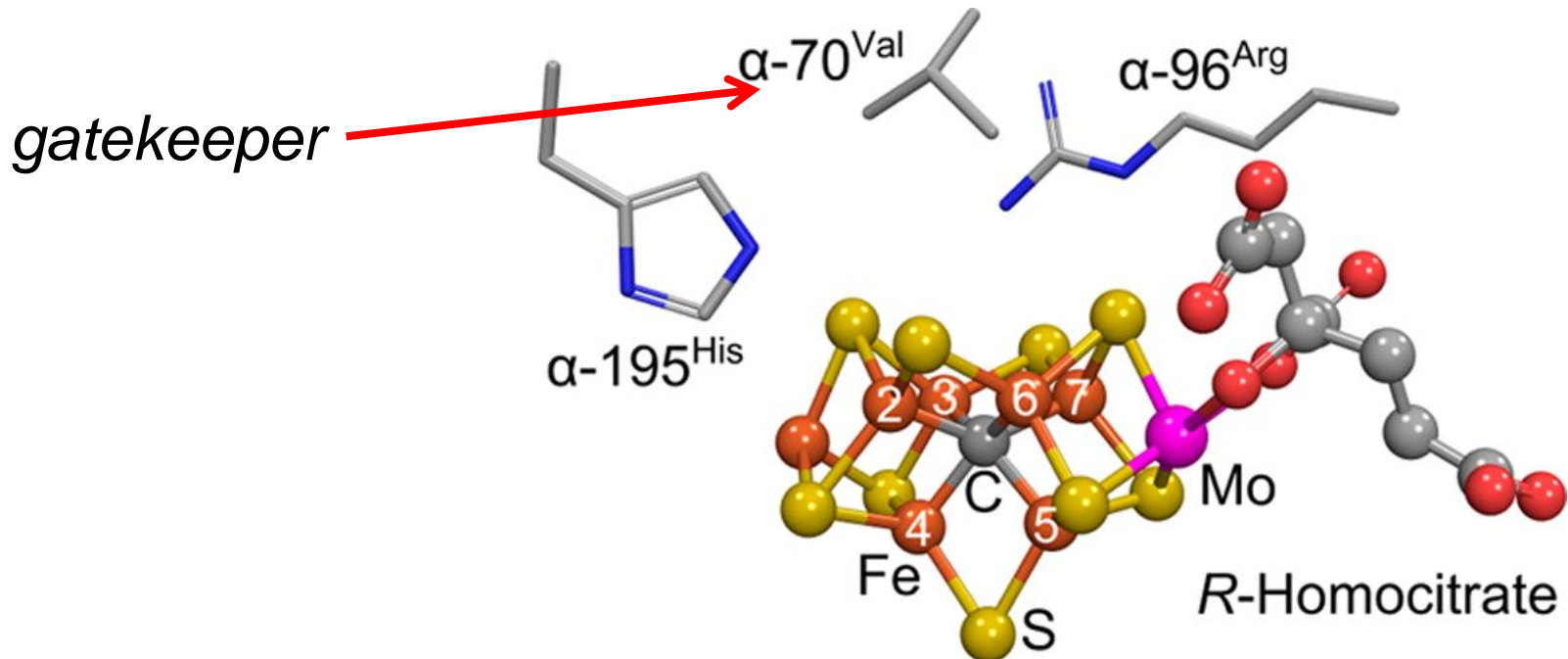
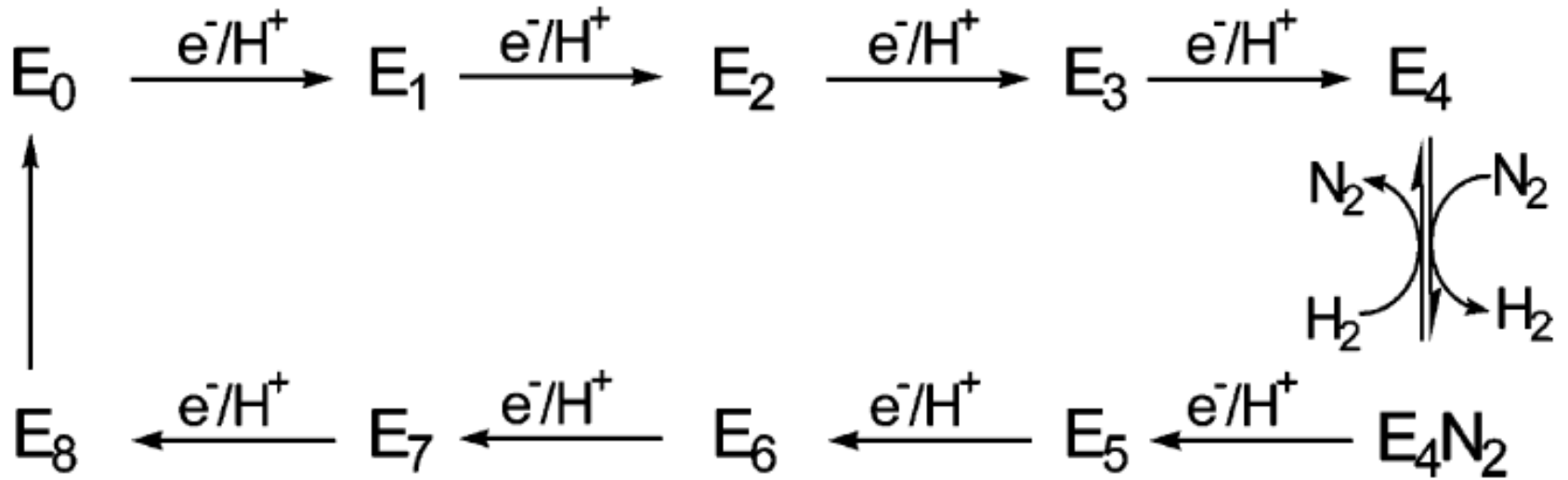
- | | | |
|---|-----------------------|-----------------------|
| 1) $[\text{MoFe}_7\text{S}_9\text{C}]^{3-}$ | 6Fe(II)1Fe(III)Mo(IV) | |
| 2) $[\text{MoFe}_7\text{S}_9\text{C}]^{1-}$ | 4Fe(II)3Fe(III)Mo(IV) | Mo(IV), d^2 $S = 0$ |
| 3) $[\text{MoFe}_7\text{S}_9\text{C}]^{1+}$ | 2Fe(II)5Fe(III)Mo(IV) | |

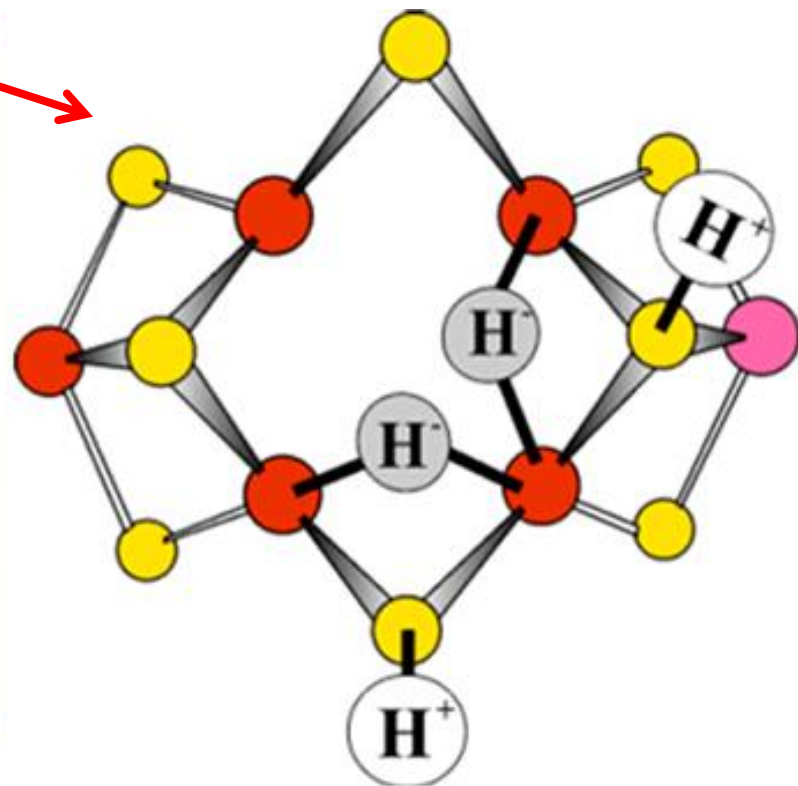
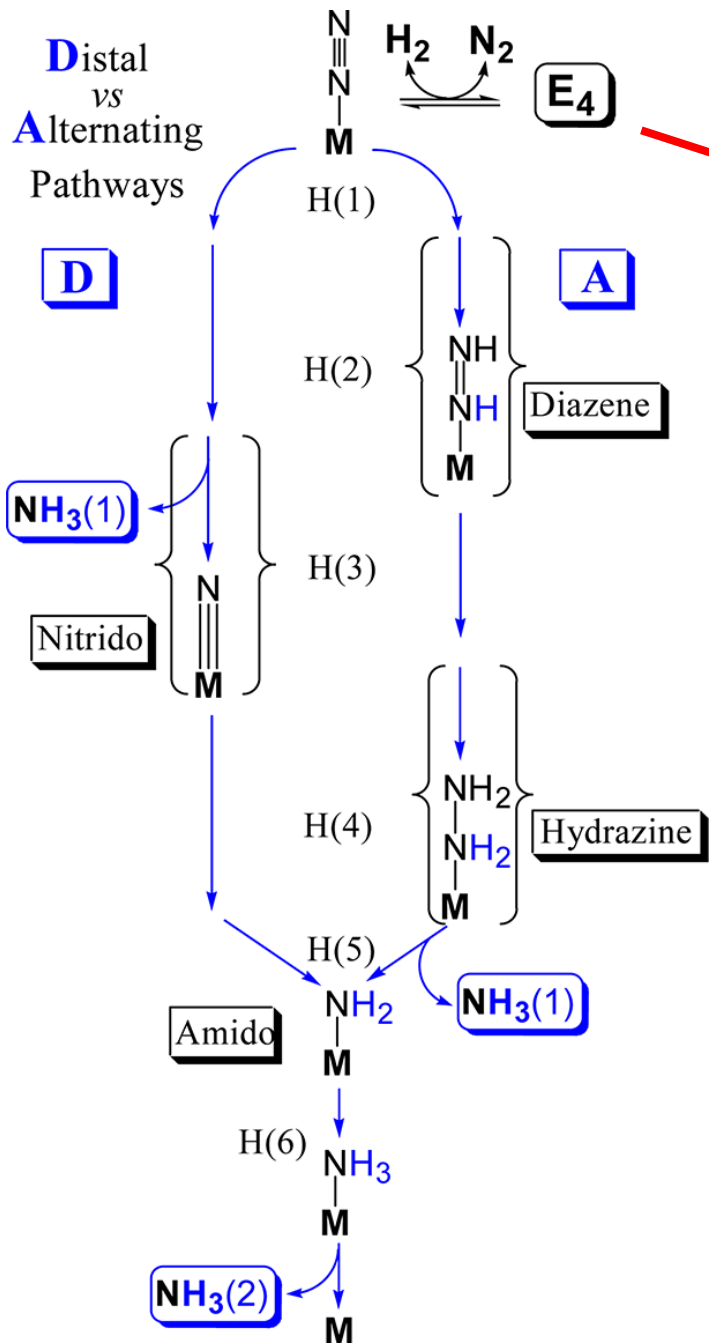
2014: Mo(III), d^3 basso spin ($\uparrow\uparrow\downarrow$)?

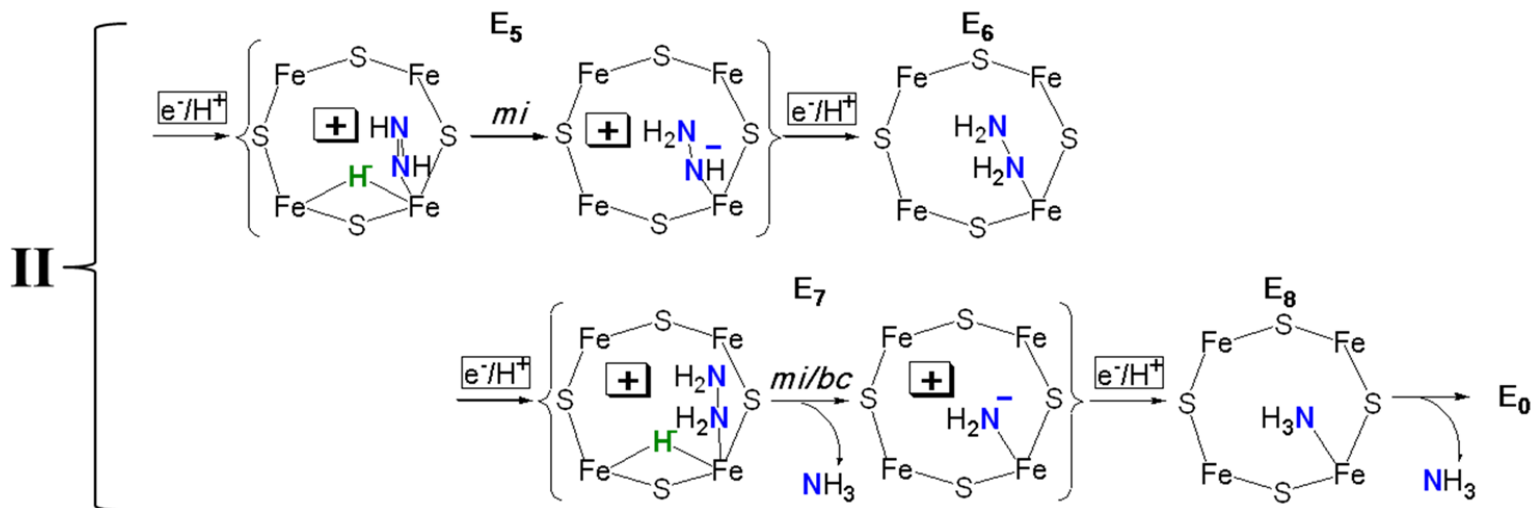
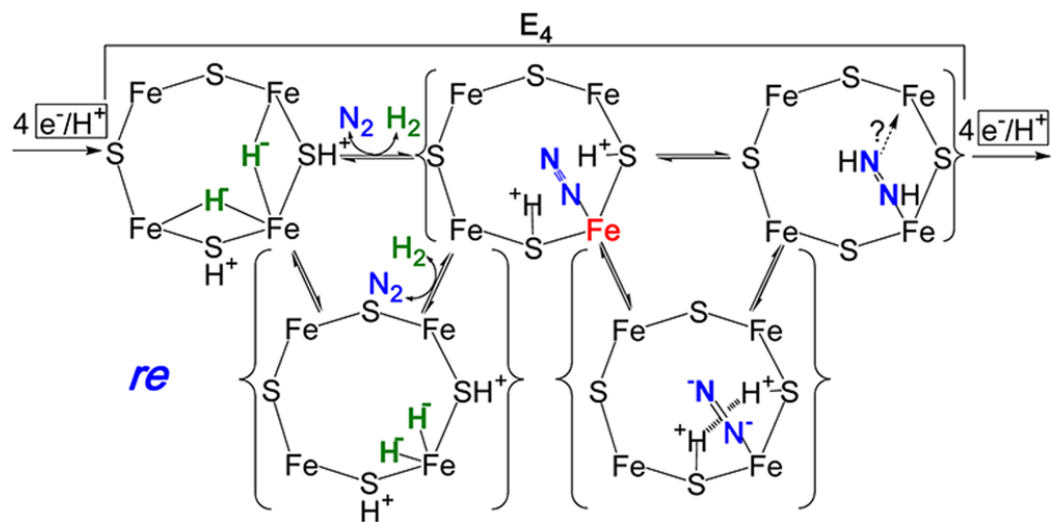
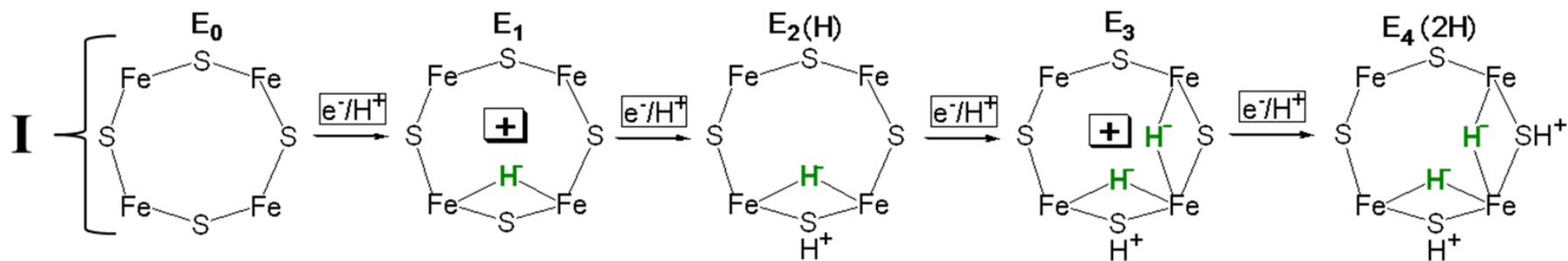
- | | | |
|-----------------------|---------------|------------------------|
| 6Fe(II)1Fe(III)Mo(IV) | \rightarrow | 5Fe(II)2Fe(III)Mo(III) |
| 4Fe(II)3Fe(III)Mo(IV) | \rightarrow | 3Fe(II)4Fe(III)Mo(III) |
| 2Fe(II)5Fe(III)Mo(IV) | \rightarrow | 1Fe(II)6Fe(III)Mo(III) |

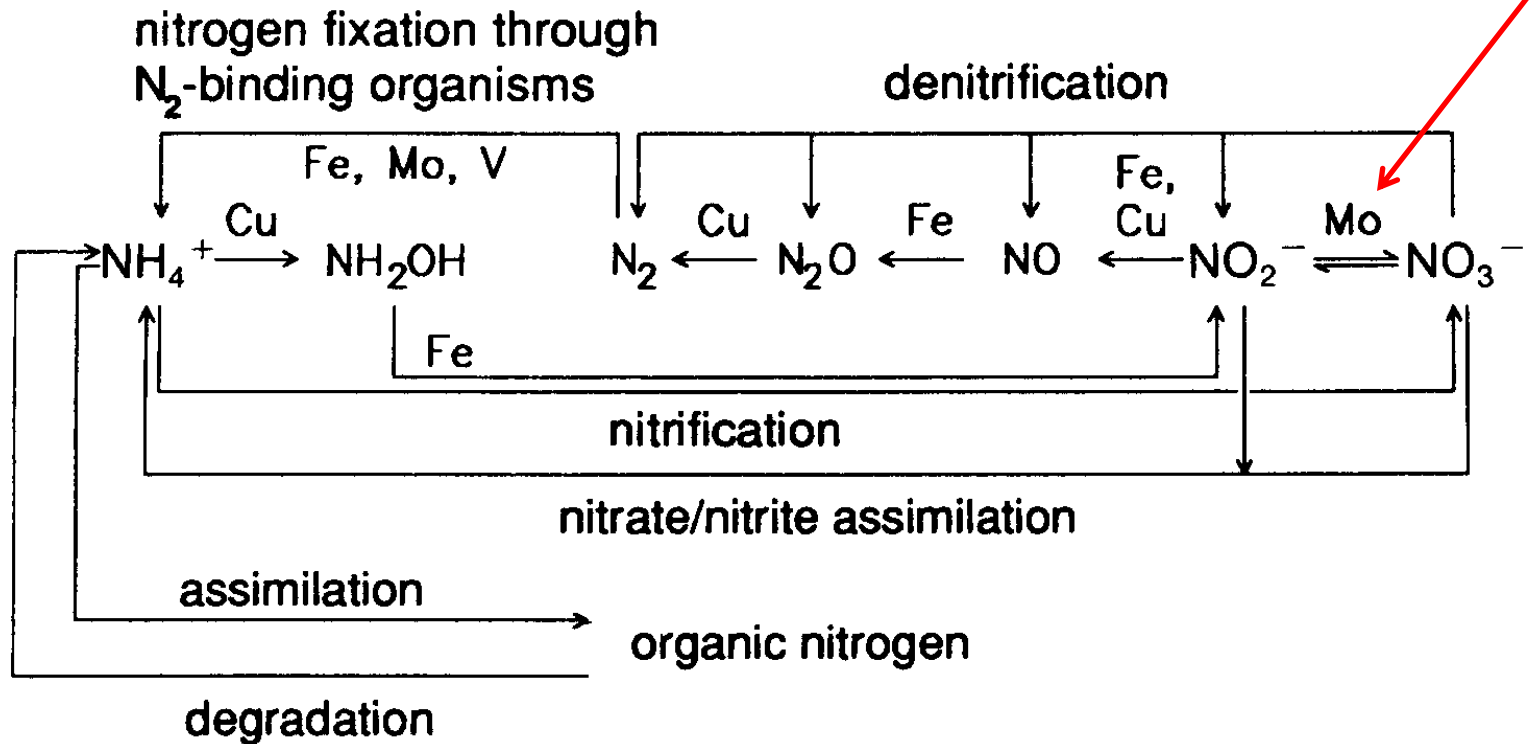


Ciclo catalitico





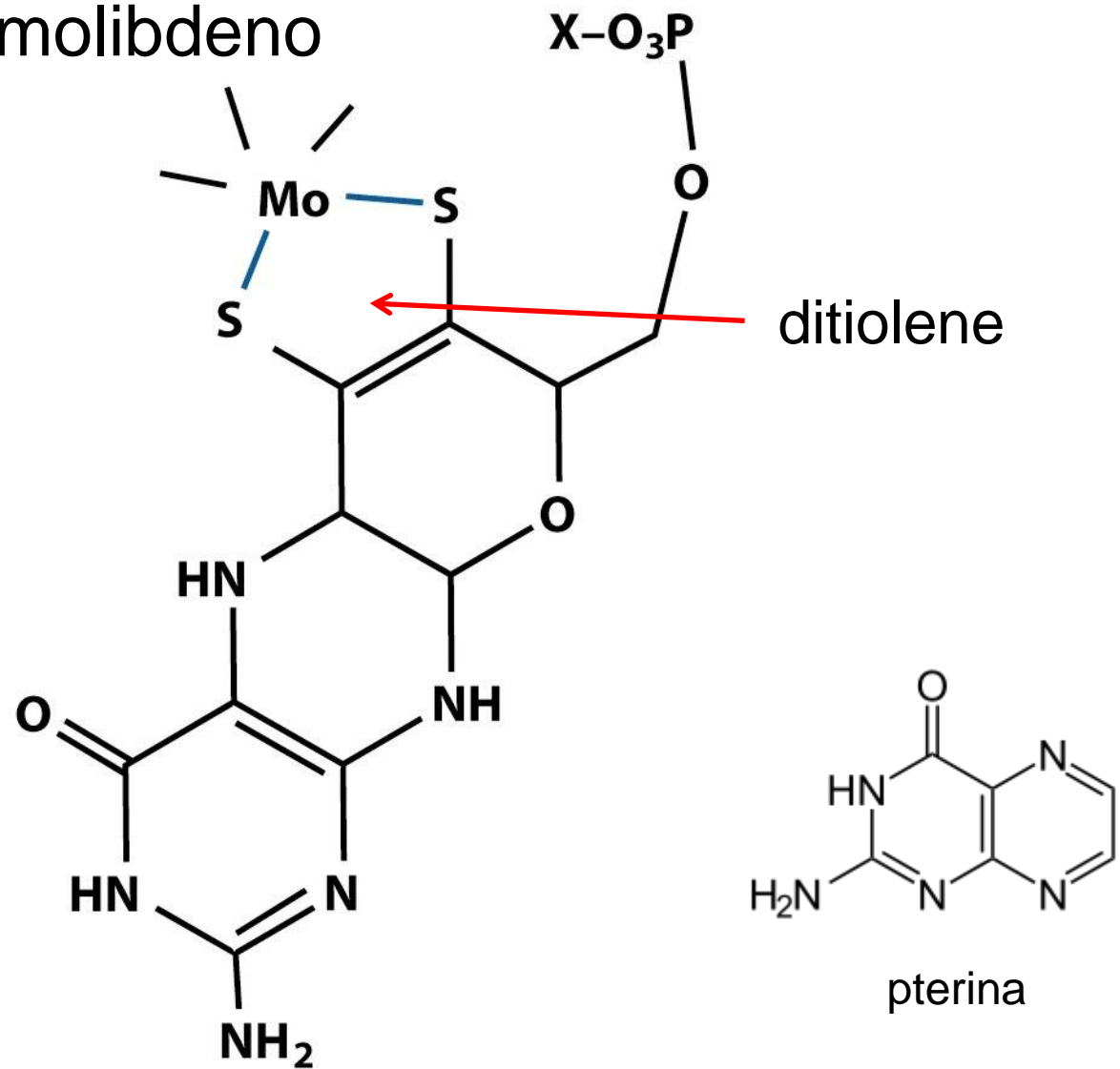




Tre famiglie di enzimi al Mo (*osso-trasferasi*)

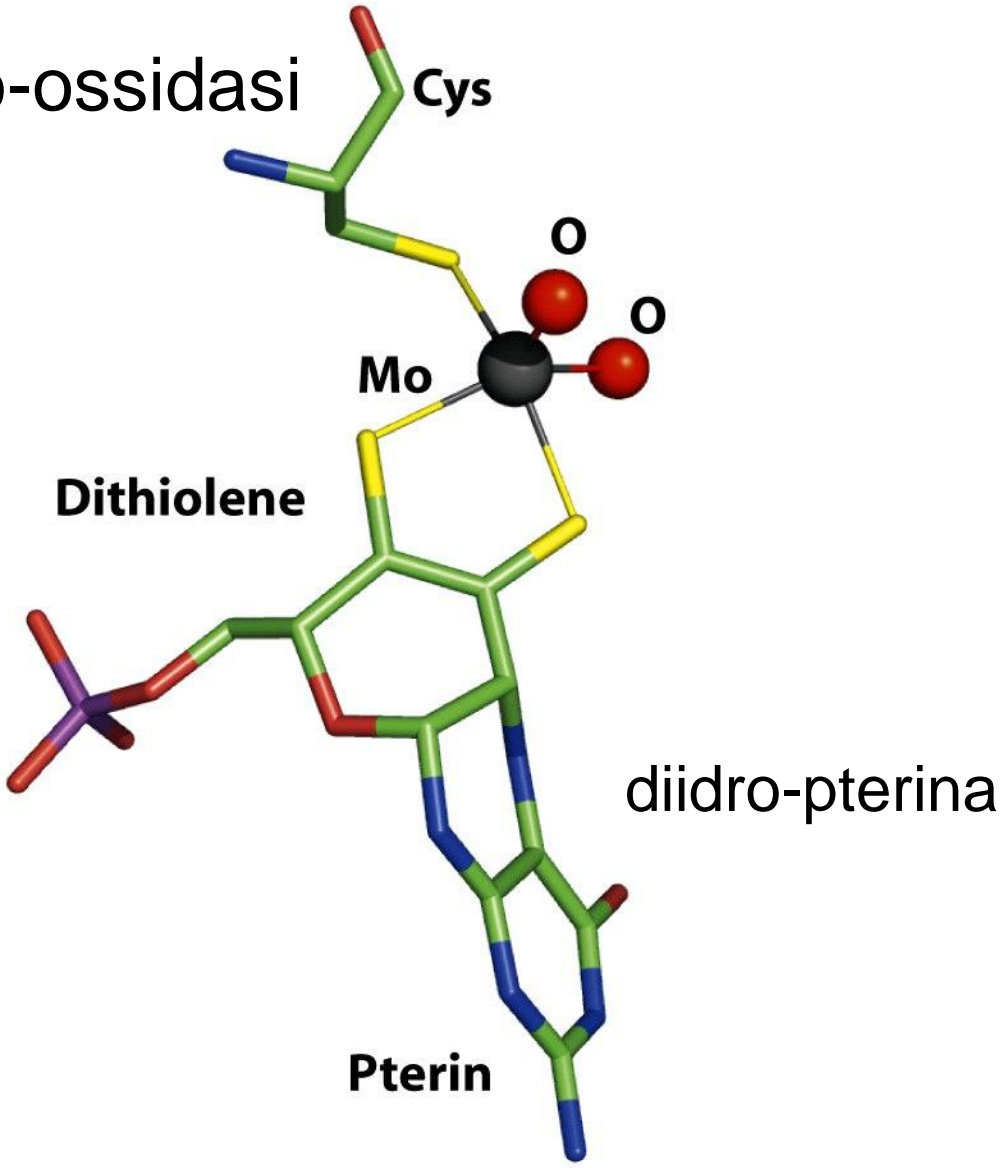
- xantina-ossidasi
- solfito-ossidasi
- DMSO-riduttasi

Cofattore del molibdeno

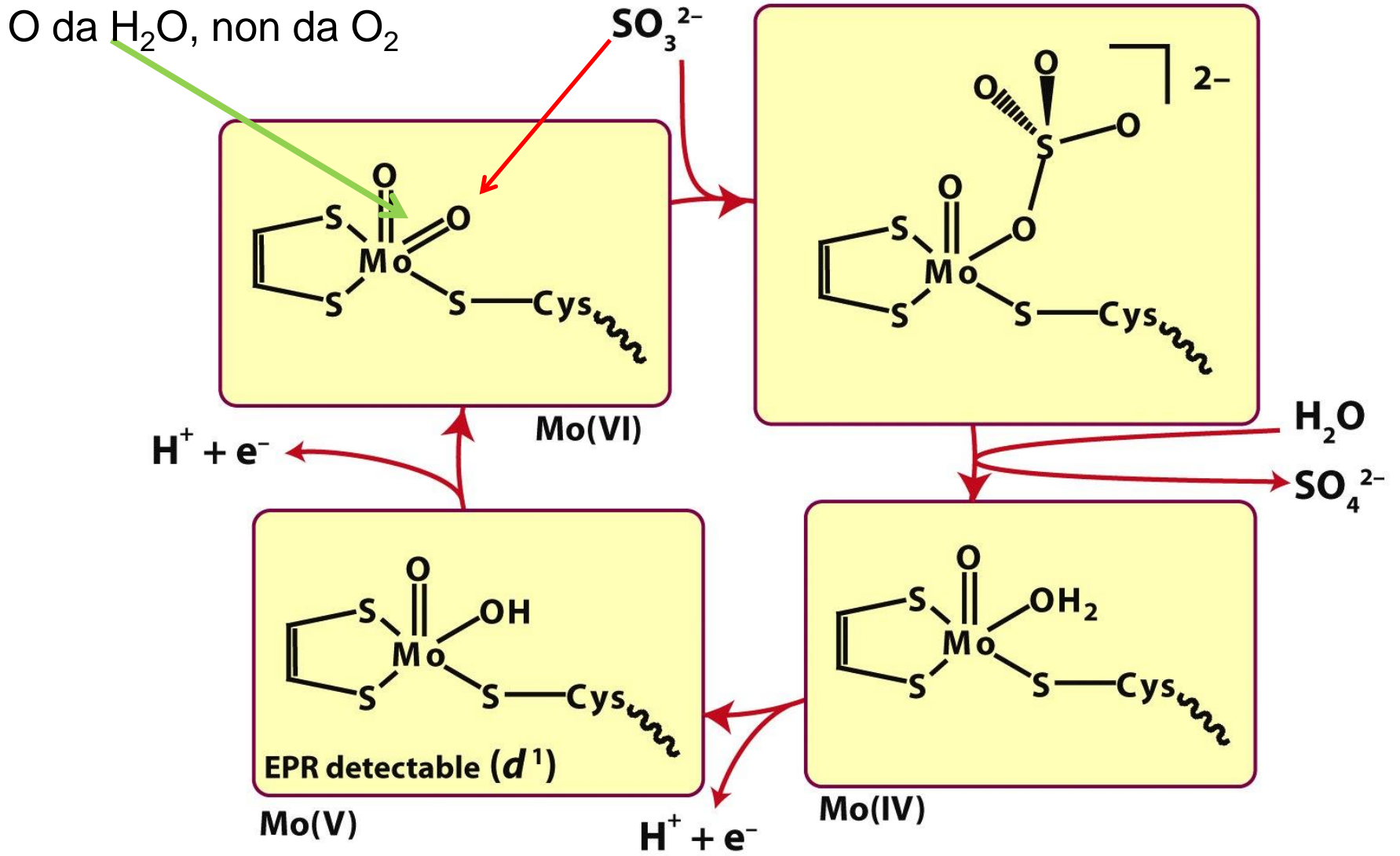


Molybdopterin as ligand

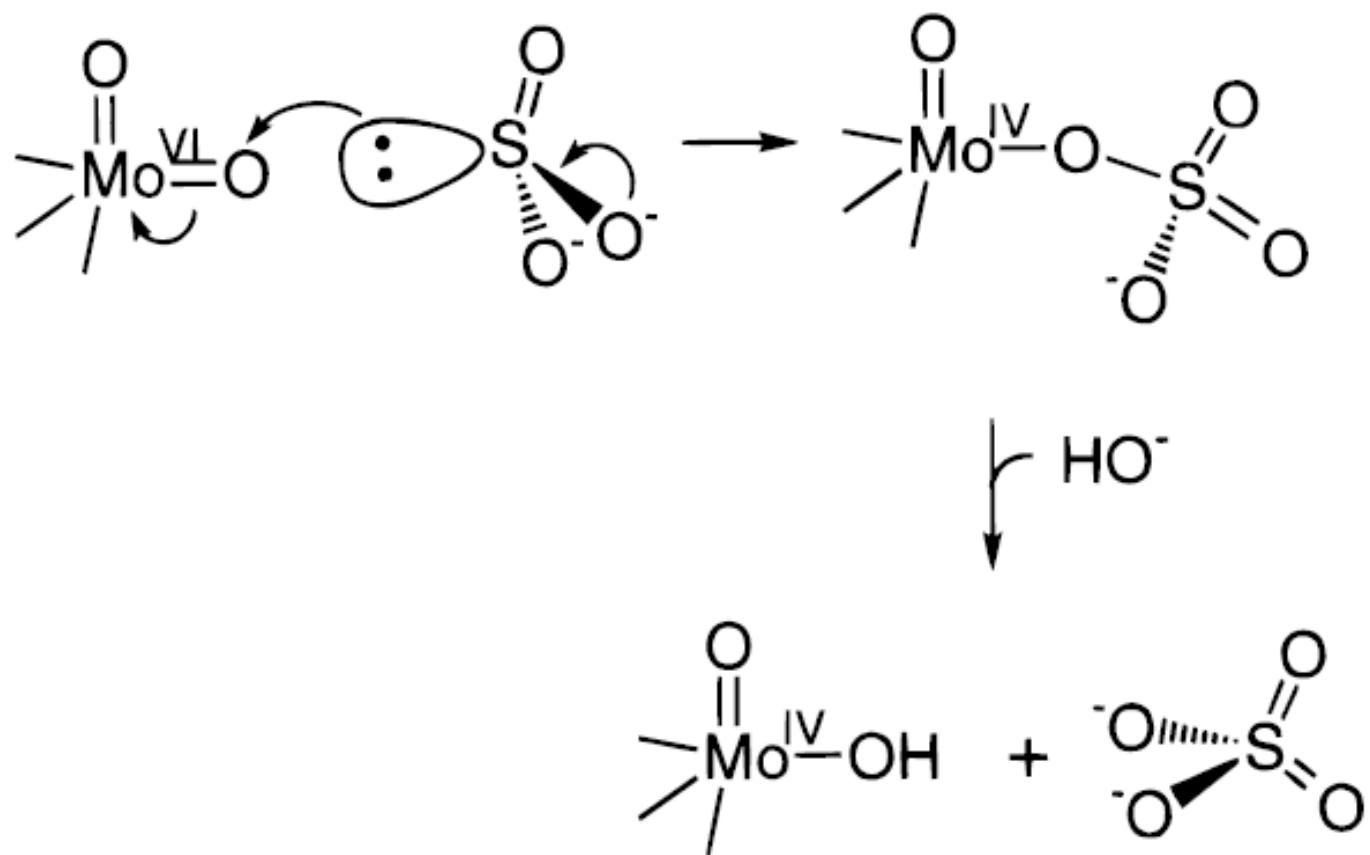
Sito della solfito-ossidasi



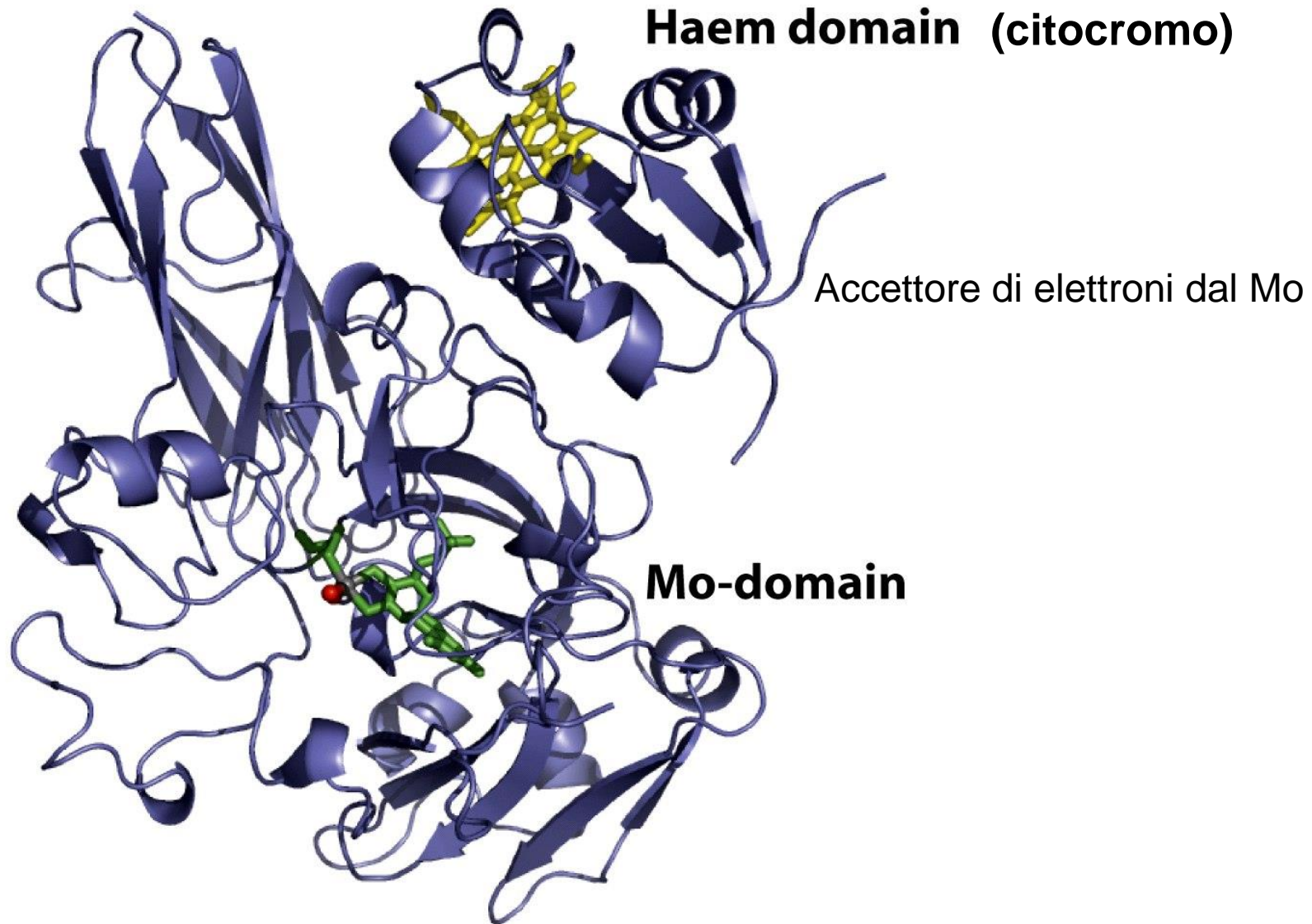
Ciclo catalitico della solfito-ossidasi



Mo possiede tre stati di ossidazione stabili, Mo(IV), Mo(V) e Mo(VI)



Struttura della solfito-ossidasi



Scala di entalpia delle reazioni di trasferimento di atomi di ossigeno

